

结 论

1. ZG9Cr18铸钢焊接性很差，近缝区对冷裂极为敏感。这是由于在近缝区形成隐针马氏体，共晶网状碳化物等硬脆组织，以及由于该钢膨胀系数大，导热系数小，焊接时热应力较大造成。

2. 只要采用焊前预热300℃，焊后及时

进行退火处理以及在补焊过程中尽量采取减少焊接应力的工艺措施，ZG9Cr18铸钢不但可以补焊，而且完全能保证补焊质量。

3. 采用奥407焊条补焊该钢对防止近缝区冷裂纹效果较好。

4. 补焊该钢时必须严格遵守工艺规程，否则，稍有不慎就可能出现近缝区裂纹。

超板极电渣堆焊2t汽锤大座

大连钢厂 李恩荣

介绍了超板极电渣堆焊2t汽锤大座的工艺、材料和焊接设备。用电渣焊修复汽锤座的方法具有较高的经济效益。

在板极电渣焊中，一般板极宽小于200mm，厚度不大于12mm，焊接电流为1000~2000A，大于上述参数焊接过程不稳定。我们对2t汽锤大座用板极电渣焊修复时，板极宽600mm，厚105mm，焊接电流10000~11000A，焊接过程仍很稳定，并取得了良好的焊接质量。

锻锤经过长期工作，在锻锤锤座的燕尾槽处，经常发生裂纹和脱落现象，如图1所示。对锻锤的检修，过去曾用自动埋弧堆焊或CO₂



图1 燕尾槽裂纹示意图

气体保护堆焊法进行修复，使用不久，又出现新的裂纹或脱落，经过3~5次修复后，大座就要报废，经济损失很大。新铸一个大座，周期长，费用高，效益低。为此，用电渣焊修复了锤座，并取得了良好的效果。

电渣堆焊设备及装置

由于堆焊的部件大而重，需用的板极大，所以堆焊的设备也相应的高大。为了适应超板极电渣焊的需要，组装了一套板极升降及横向调整机构。设备的有效升降高度为4.2m，横向调节距离为700mm，均通过减速机进行调节。快速升降为2300mm/min，慢速升降为3~35mm/min，见图2所示。

焊接电源，选用平特性的1000kVA变压器，一次电压3300V，电流200A，二次电压分三级（60V、68V、78V），电流为6000~15300A，配有功率自动调节装置一套，通过可控硅及晶体管达到自动控制之目的。

为了保证堆焊过程的顺利进行和成形良好，设计制造了强制成形装置——冷却水箱。分为主水箱及两个侧水箱，均为铜板及钢板组合而成，中间的有效串水间隙为40mm，主水箱为二进二出（图3）侧水箱为一进一出式，

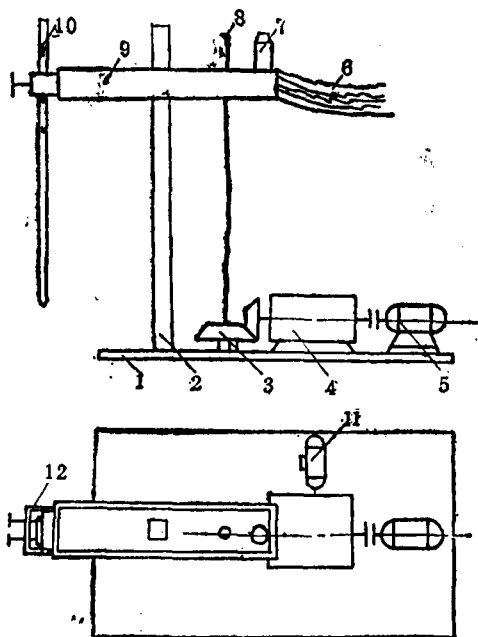


图2 堆焊装置示意图

1. 底板 2. 立柱 3. 伞齿轮 4. 差动减速机
5. 交流电动机 6. 软导线 7. 横臂用电动机
8. 丝杠 9. 横臂 10. 板极 11. 直流电动机
12. 卡头

进出水管直径均为 $\phi 50\text{mm}$ (图4)。

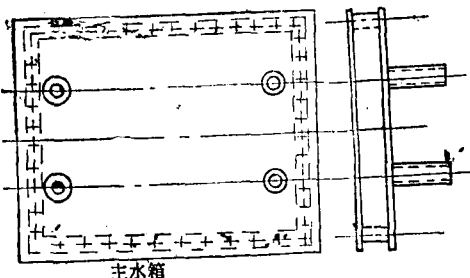


图3 主水箱

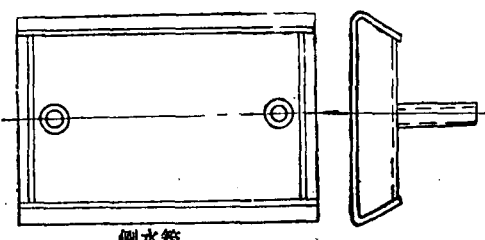


图4 侧水箱

堆焊工艺参数

锻锤座的材质为ZG30，堆焊处尺寸为230

$\times 720 \times 1300\text{mm}$ 。板极的材质选用25#锻钢。板极的体积应等于堆焊层的体积。板极与锤座的间隙不能过大，否则易产生未焊透。试验表明，间隙在60mm左右最合适，因而板极的尺寸确定为 $105 \times 600 \times 5000\text{mm}$ ，重约2.5t。

焊接电压68V，堆焊电流在 $10000 \sim 11000\text{A}$ 时，可获得合适的熔深和稳定的堆焊过程。而熔深的大小与渣池的深度也有直接关系。当渣池深度较大、板极送进速度较慢时，板极受渣池预热时间长，获得的热量多，有利于板极的熔化，所以熔化母材金属的热量相对减少，使熔深变小。实践证明，渣池在 $75 \sim 100\text{mm}$ ，板极送进速度在 $18 \sim 20\text{mm/min}$ 时获得了良好的堆焊质量；为了确保堆焊层成形良好，必须采取强制冷却法。串水水箱的进水压力不低于 0.3MPa ，出水温度不应过低，合适的出水温度在 $70 \sim 75^\circ\text{C}$ 。

超板极电渣堆焊，因板极的截面尺寸较大，所以堆焊电流的密度很小。选用的是平特性电源，而且所用的焊接电压较高(68V)，板极不可能深入渣池很深，而只能与渣池表面相接触，接触面的导电强度是不均匀的，在某一点上导电率大，呈明显的光亮辉点，辉点在板极端面来回飘移，因而电渣焊高温锥体也随之飘移，在600mm宽的板极截面上，辉点往返飘移一次需10S，以此保证超板极大截面的渣池温度趋于一致，保证电渣焊过程稳定，堆焊层质量优良。

堆焊前的准备和装配

锤座在堆焊前，必须将裂纹、破碎部位，用氧炔焰全部清除，并用碳弧气刨找平。座体的两侧与侧水箱的接合面也用碳弧气刨找平，与侧水箱的配合面间隙不大于 2.5mm ，配合面的宽度不小于 150mm ，间隙过大或宽度过窄容易跑渣。

为防止起焊部位产生未焊透，在锤座下部底板上装配了引弧板，底板的厚度为 150mm ，引弧板的厚度为 100mm ，均经机械加工，配合

面的光洁度在 $\nabla 3$ 以上。在底板上安装了软铜导线。为了防止堆焊层冷却后产生缩孔，堆焊终了时的熔池面应高于所需尺寸，为此，在堆焊面的上方装置了引出板，挡住熔渣及液体金属，不致流掉。引出板的尺寸为 $120 \times 180 \times 720\text{mm}$ 。为便于起焊时的造渣，板极下端应切割成斜面。板极的侧面也切割成与锤座相应的形状，以保持间隙的一致性。板极上端与导电卡夹的接触面应研平、卡紧，保证导电良好。装配后的情况如图5。

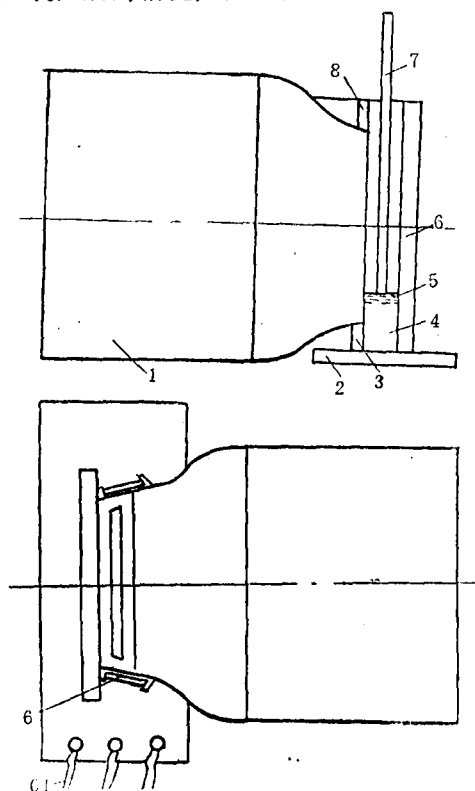


图5 焊前装配图

- 1. 锤座 2. 底板 3. 引弧板
- 4. 堆焊金属 5. 渣池 6. 主水箱
- 7. 板极 8. 引出板 9. 侧水箱
- 10. 软导线

堆焊工艺过程

为了保证堆焊过程中的安全，事先对人员做了严密的分工，制定了安全操作规程。超板极引弧造渣是不易的。采用无弧造渣实现了超板电渣焊，即用一种电阻大、导电率低的电阻剂做导电材料，把它加工成一定尺寸($60 \times 70\text{mm}$)，在导电的底板上均匀地放 $3 \sim 4$ 块，慢慢地落下板极，将电阻剂压实，保证接触良好。压力不能过大，以防将电阻剂压碎。再在电阻剂的周围撒放一层431焊剂，厚度为 $40 \sim 50\text{mm}$ ，接通电源 $2 \sim 3\text{s}$ 后，电流表开始动作，指针逐渐升高、电流逐渐增大。由于电流的热作用，接触部分的板极金属及电阻剂逐渐由红变白，放出大量的热，将附近的焊剂熔化，这时将准备好的干焊剂倒入板极周围。随着通电时间的延长，焊剂熔化得更多，与板极的接触面逐渐扩大。电流继续升高，焊剂全部熔化，建立起渣池。此时电流达到额定值，开始正常的堆焊，该过程仅 $2 \sim 3\text{min}$ 。这是一种无电弧的造渣方法。正常堆焊时，每隔 10min 检查一下各个有关参数，特别是要经常检查渣池的深度，当深度小于 75mm 时，及时均匀地填加焊剂，使渣池经常保持在选定的深度范围内。随着母材和板极的熔化，堆焊层逐渐上升，直至升到所需的高度时，迅速提起板极，停止焊接，但水箱内的冷却水要继续送给，待锤座冷却 $30 \sim 40\text{min}$ 后，停止送水，拆除水箱，将锤座的堆焊部位埋入干燥的热砂中保温，直到温度降到室温时，吊出堆焊件，割去两端的引弧板和引出板，再按图纸要求进行机械加工。堆焊参数见下表。

堆 焊 参 数

堆焊层断面尺寸 (mm)	装配间隙 (mm)	板极截面 (mm)	堆焊电流 (A)	焊接电压 (V)	板极送进速度 (mm/min)	渣池深度 (mm)	供水压力 (MPa)	出水温度 (°C)	堆焊时间 (min)
720×1300	230	105×600	$10000 \sim 11000$	65~67	18~20	75~100	≥ 0.3	70~75	225

经济效果

超板极电渣堆焊修复锤座成功后，不仅修

复了所有报废锤座，满足了生产的需要，而且每修复一个锤座较新铸一个2t锤座可节约钢材52t，节约资金80%左右。

渗铝钢焊接接头的组织特征与机械性能

云梦县化工机械厂 赵晓勇

介绍了“渗107”、“渗207”两种渗铝钢焊条和“A132”、“A302”两种不锈钢焊条焊接渗铝钢的焊接接头的组织特征与机械性能，并对主要焊接缺陷进行了举例分析。

渗铝钢优异的耐热防腐性能，逐渐引起国内外广泛重视。由于它大都应用于焊接构件，其焊接性能是决定该材料推广应用的关键。

渗铝钢是一种涂复钢，其组织形貌是在钢的基体金属表面覆盖有铝铁化合物和 α 固溶体（图1）。由于覆盖层组织、化学成分、熔

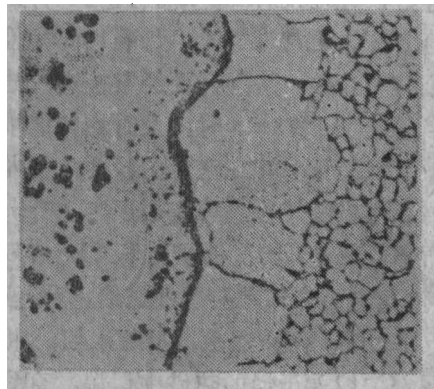


图1 A₃渗铝钢组织（×200）

点、导热性能与基体金属差异较大，给焊接性能带来较大影响，给焊接接头的组织与性能亦带来较大影响。本文主要以渗铝钢与渗铝钢，渗铝钢与1Cr18Ni9Ti不锈钢的焊接为例，介绍其焊接接头的组织特征与机械性能。

组织特征

1. 渗铝钢与渗铝钢对接焊缝的组织特征 20号渗铝钢用A132不锈钢焊条焊接，其焊

缝金属组织为奥氏体+ δ 铁素体+少量颗粒状碳化物（图2）双相组织。具体奥氏体+ δ 铁素体双相组织的焊缝屈服强度比单一奥氏体组织的要高。为了避免热裂纹，希望焊缝组织中出现 δ 铁素体。但并非所有工艺条件下都能得到奥氏体+ δ 铁素体双相组织。这就应在焊条的选择，焊接电流的选择上认真试验。图2是采用A132焊条，75~85交流电焊接的焊缝组织。熔合线附近白色的 α 固溶体带是渗铝层中高浓度的铝（30~60%）在焊接高温下再度扩散与固溶的产物，这是渗铝钢焊缝的显著特征之一。同焊前组织相比，渗铝层中的疏松组织得到了改善。图2的左侧为热影响区组织，铁素体沾奥氏体晶界构成网络。靠近熔合线附近的铁素体网络较小，这主要是因为焊缝中熔



图2 20号渗铝钢焊缝组织（×300）